

1. Treść zadań
1.1. Zadanie pierwsze

Dane jest równanie różniczkowe zwyczajne

$$\frac{du(x)}{dx} = \cos(w * x) \text{ dla } x \in \Omega \quad (1)$$

gdzie,

$x, w, u \in \mathbb{R}$

x to położenie

Ω to dziedziną, na której rozwiązujemy równanie, $\Omega = \{x \mid -2\pi \leq x \leq 2\pi\}$

$u(\cdot)$ to to funkcja, której postaci szukamy

Warunek początkowy zdefiniowany jest następująco

$$u(0) = 0 \quad (2)$$

Analityczna postać rozwiązania równania (1) z warunkiem początkowym (2) jest następująca:

$$u(x) = \frac{1}{\omega} \sin(\omega x)$$

Rozwiąż powyższe zagadnienie początkowe (1,2). Do rozwiązania użyj sieci neuronowych PINN (ang. Physics-informed Neural Network) [1]. Można wykorzystać szablon w pytorch-u lub bibliotekę DeepXDE [2].

Koszt rezydualny zdefiniowany jest następująco:

$$\mathcal{L}_r(\theta) = \frac{1}{N} \sum_{i=1}^N \left\| \frac{d\hat{u}}{dx} - \cos(\omega x) \right\|$$

gdzie N jest liczba punktów kolokacyjnych.

Koszt związany z warunkiem początkowym przyjmuje postać:

$$\mathcal{L}_{IC}(\theta) = \|\hat{u}(0) - u(0)\|$$

Funkcja kosztu zdefiniowana jest następująco:

$$\mathcal{L}(\theta) = \mathcal{L}_{IC}(\theta) + \mathcal{L}_r(\theta)$$

Warstwa wejściowa sieci posiada 1 neuron, reprezentujący zmienną x , Warstwa wyjściowa także posiada 1 neuron, reprezentujący zmienną $\hat{u}(x)$. Uczenie trwa przez 50 000 kroków algorytmem Adam ze stałą uczenia równą 0.001. Jako funkcje aktywacji przyjmij tangens hiperboliczny, \tanh

(a) Przypadek $\omega = 1$

Ustal następujące wartości:

- 2 warstwy ukryte, 16 neuronów w każdej warstwie
- liczba punktów treningowych: 200
- liczba punktów testowych: 1000

(b) Przypadek $\omega = 15$

Ustal następujące wartości:

- liczba punktów treningowych: 3000
- liczba punktów testowych: 5000

Eksperymenty przeprowadz z trzema architekturami sieci:

- 2 warstwy ukryte, 16 neuronów w każdej warstwie
- 4 warstwy ukryte, 64 neurony w każdej warstwie
- 5 warstw ukrytych, 128 neuronów w każdej warstwie

(c) Dla wybranej przez siebie sieci porównaj wynik z rozwiązaniem, w którym przyjęto, że szukane rozwiązanie (ansatz) ma postać:

$$\hat{u}(x; \theta) = \tanh(\omega x) * NN(x; \theta)$$

Taka postać rozwiązania gwarantuje spełnienie warunku $\hat{u}(0) = 0$ bez wprowadzania składnika \mathcal{L}_{IC} do funkcji kosztu.

(d) Porównaj pierwotny wynik z rozwiązaniem, w którym pierwsza warstwę ukrytą zainicjalizowano cechami Fouriera:

$$\gamma(x) = [\sin(2^0 \pi x), \cos(2^0 \pi x), \dots, \sin(2^{L-1} \pi x), \cos(2^{L-1} \pi x)]$$

Dobierz L tak, aby nie zmieniać szerokości warstwy ukrytej

Dla każdego z powyższych przypadków stwórz następujące wykresy:

- Wykres funkcji $u(x)$, tj. dokładnego rozwiązania oraz wykres funkcji $\hat{u}(x)$, tj. rozwiązania znalezione przez sieć neuronową
- Wykres funkcji błędu.

Stwórz także wykres funkcji kosztu w zależności od liczby epok.

2. Rozwiązanie zadania

2.1. Implementacja zadania pierwszego

2.1.1. Definicja analitycznego rozwiązania

```
def exact_solution(x, w):  
    return (1/w) * torch.sin(w * x)
```

2.1.2. Definicja sieci neuronowej

```
class FCN(nn.Module):  
    def __init__(self, N_INPUT, N_OUTPUT, N_HIDDEN, N_LAYERS):  
        super().__init__()  
        activation = nn.Tanh  
  
        # warstwa początkowa  
        self.fcs = nn.Sequential(*[  
            nn.Linear(N_INPUT, N_HIDDEN),  
            activation()])  
  
        # warstwa ukryta  
        self.fch = nn.Sequential(*[  
            nn.Linear(N_HIDDEN, N_HIDDEN),  
            activation()] for _ in range(N_LAYERS-1))  
  
        # warstwa wyjściowa  
        self.fce = nn.Linear(N_HIDDEN, N_OUTPUT)  
    def forward(self, x):  
        x = self.fcs(x)  
        x = self.fch(x)  
        x = self.fce(x)  
        return x
```

2.1.3. Funkcja licząca koszt warunku początkowego

```
def calculate_cond_start_cost(model, x_boundary):  
    u0 = model(x_boundary)  
    loss_ic = u0 ** 2  
    return loss_ic
```

2.1.4. Funkcja obliczająca koszt rezydualny

```
def calculate_residual_cost(model, x_physics, w):  
    u = model(x_physics)  
    du_dx = torch.autograd.grad(u, x_physics, torch.ones_like(u), create_graph=True)[0]  
    residual = du_dx - torch.cos(w * x_physics)  
    loss_r = torch.mean(residual**2)  
    return loss_r
```

2.1.5. Funkcja obliczająca koszt totalny

```
def calculate_total_cost(model, x_boundary, x_physics, w):  
    return calculate_cond_start_cost(model, x_boundary) + calculate_residual_cost(model, x_physics, w)
```

2.1.6. Funkcja treningowa PINN

```
def train_PINN(model, x_boundary, x_physics, cost_fun, w, epochs=50000, lr=0.001):
    optimizer = torch.optim.Adam(model.parameters(), lr=lr)
    losses = []

    for i in range(epochs):
        optimizer.zero_grad()

        loss = cost_fun(model, x_boundary, x_physics, w)
        losses.append(loss.item())

        loss.backward()
        optimizer.step()

        if i % 5000 == 0:
            print(f'Epoch {i}, Loss: {loss.item()}')

    return model, losses
```

2.1.7. Funkcja do rysowania wyników

```
def plot_results(x_test, u_exact, u_pred, losses, title):

    plt.plot(x_test, u_exact, label='Exact solution')
    plt.plot(x_test, u_pred, '--', label='PINN solution')
    plt.xlabel('x')
    plt.ylabel('u(x)')
    plt.title(title + ': Solution')
    plt.legend()
    plt.show()

    plt.plot(x_test, abs((u_exact - u_pred)))
    plt.xlabel('x')
    plt.ylabel('error')
    plt.title(title + ': Error function')
    plt.show()

    plt.plot(losses)
    plt.xlabel('Epoch')
    plt.ylabel('Loss')
    plt.title(title + ': Training Loss')
    plt.show()
```

2.1.8. Stałe w naszym modelu

```
N_INPUT = 1
N_OUTPUT = 1
LR = 0.001
EPOCHS = 50000
```

2.1.9. Przypadek $\omega = 1$

2.1.9.1. Parametry naszego modelu

```
N_LAYERS = 2
N_HIDDEN = 16
TRAINING_POINTS = 200
TESTING_POINTS = 1000
OMEGA = 1
```

2.1.9.2. Definicja modelu

```
model_a = FCN(N_INPUT, N_OUTPUT, N_HIDDEN, N_LAYERS)
```

2.1.9.3. Definicja punktów treningowych i testowych

```
x_boundary_a = torch.tensor([[0.0]], requires_grad=True)
x_physics_a = torch.linspace(-2 * np.pi, 2 * np.pi, TRAINING_POINTS).view(-1, 1).requires_grad_(True)
x_test_a = torch.linspace(-2 * np.pi, 2 * np.pi, TESTING_POINTS).view(-1, 1)
u_exact_a = exact_solution(x_test_a, OMEGA)
```

2.1.9.4. Trening modelu

```
print(f'Training for w = {OMEGA}, Layers = {N_LAYERS}, Neurons = {N_HIDDEN}\n')
model_a, losses_a = train_PINN(model_a, x_boundary_a, x_physics_a, calculate_total_cost, OMEGA, EPOCHS, LR)
```

2.1.9.5. Przewidywanie wartości

```
u_pred_a = model_load_a(x_test_a).detach().numpy()
u_exact_a = u_exact_a.numpy()
```

2.1.9.6. Rysowanie wyników

```
plot_results(x_test_a, u_exact_a, u_pred_a, losses_a, f'w = {OMEGA}, Layers = {N_LAYERS}, Neurons = {N_HIDDEN}')
```

2.1.10. Przypadek $\omega = 15$

2.1.10.1. Parametry naszego modelu

```
TRAINING_POINTS = 3000
TESTING_POINTS = 5000
OMEGA = 15
ARCH = [(2,16), (4,64), (5,128)]
```

2.1.10.2. Definicja modelu, definicja punktów treningowych i testowych, ..., wykres wyników

```
for N_LAYERS, N_HIDDEN in ARCH:

    # Definicja modelu
    model_b = FCN(N_INPUT, N_OUTPUT, N_HIDDEN, N_LAYERS)

    # Definicja punktów treningowych i testowych
    x_boundary_b = torch.tensor([[0.0]], requires_grad=True)
    x_physics_b = torch.linspace(-2 * np.pi, 2 * np.pi, TRAINING_POINTS).view(-1, 1).requires_grad_(True)
    x_test_b = torch.linspace(-2 * np.pi, 2 * np.pi, TESTING_POINTS).view(-1, 1)
    u_exact_b = exact_solution(x_test_b, OMEGA)

    # Trening
    print(f'Training for w = {OMEGA}, Layers = {N_LAYERS}, Neurons = {N_HIDDEN}\n')
    model_b, losses_b = train_PINN(model_b, x_boundary_b, x_physics_b, calculate_total_cost, OMEGA, EPOCHS, LR)

    # Zapis
    torch.save(model_b, f'models/model_b_{N_LAYERS}_{N_HIDDEN}.pth')

    # Odczyt
    model_load_b = torch.load(f'models/model_b_{N_LAYERS}_{N_HIDDEN}.pth')

    # Przewidywanie wartości
    u_pred_b = model_load_b(x_test_b).detach().numpy()
    u_exact_b = u_exact_b.numpy()

    # Rysowanie wykresów
    plot_results(x_test_b, u_exact_b, u_pred_b, losses_b, f'w = {OMEGA}, Layers = {N_LAYERS}, Neurons = {N_HIDDEN}')
```

2.1.11. Porównanie wyniku wybranej sieci z rozwiązaniem w którym przyjęto, że szukane rozwiązanie ma konkretną postać

2.1.11.1. Funkcja obliczająca koszt totalny

```
def calculate_total_cost_anastaz(model, _, x_physics, w):  
    u = torch.tanh(w * x_physics) * model(x_physics)  
    u_x = torch.autograd.grad(u, x_physics, torch.ones_like(u), create_graph=True)[0]  
    loss_r = torch.mean(torch.pow((u_x - torch.cos(w * x_physics)), 2))  
    return loss_r
```

2.1.11.2. Parametry naszego modelu

```
N_LAYERS = 5  
N_HIDDEN = 128  
TRAINING_POINTS = 3000  
TESTING_POINTS = 5000  
OMEGA = 15
```

2.1.11.3. Definicja modelu

```
model_c = FCN(N_INPUT, N_OUTPUT, N_HIDDEN, N_LAYERS)
```

2.1.11.4. Definicja punktów treningowych i testowych

```
x_physics_c = torch.linspace(-2 * np.pi, 2 * np.pi, TRAINING_POINTS).view(-1, 1).requires_grad_(True)  
x_test_c = torch.linspace(-2 * np.pi, 2 * np.pi, TESTING_POINTS).view(-1, 1)  
u_exact_c = exact_solution(x_test_c, OMEGA)
```

2.1.11.5. Trening modelu

```
print(f'ansatz - Training for w = {OMEGA}, Layers = {N_LAYERS}, Neurons = {N_HIDDEN}\n')  
model_c, losses_c = train_PINN(model_c, _, x_physics_c, calculate_total_cost_anastaz, OMEGA, EPOCHS, LR)
```

2.1.11.6. Przewidywanie wartości

```
u_pred_c = model_c_load(x_test_c).detach().numpy()  
u_exact_c = u_exact_c.numpy()
```

2.1.11.7. Rysowanie wyników

```
plot_results(x_test_c, u_exact_c, u_pred_c, losses_c, f'ansatz - w = {OMEGA}, Layers = {N_LAYERS}, Neurons = {N_HIDDEN}')
```

2.1.12. Porównanie pierwotnego wyniku z rozwiązaniem, w którym pierwszą warstwę ukrytą zainicjalizowano cechami Fouriera

2.1.12.1. Warstwa Fouriera

```
class FourierLayer(nn.Module):  
    def __init__(self, N_INPUT, N_HIDDEN):  
        super(FourierLayer, self).__init__()  
        self.N_HIDDEN = N_HIDDEN  
        self.L = N_HIDDEN // 2  
        self.linear = nn.Linear(2 * self.L, N_HIDDEN)  
  
    def forward(self, x):  
        # Tworzymy cechy Fouriera  
        features = []  
        for l in range(1, self.L + 1):  
            features.append(torch.sin((2 ** l) * np.pi * x))  
            features.append(torch.cos((2 ** l) * np.pi * x))  
        features = torch.cat(features, dim=-1)  
        return self.linear(features)
```

2.1.12.2. Model Fouriera

```
class FourierFCN(nn.Module):
    """Defines a fully-connected network in PyTorch"""
    def __init__(self, N_INPUT, N_OUTPUT, N_HIDDEN, N_LAYERS):
        super(FourierFCN, self).__init__()

        self.fcs = FourierLayer(N_INPUT, N_HIDDEN)
        activation = nn.Tanh

        self.fch = nn.Sequential(*[
            nn.Sequential(nn.Linear(N_HIDDEN, N_HIDDEN), activation())
            for _ in range(N_LAYERS - 1)
        ])

        self.fce = nn.Linear(N_HIDDEN, N_OUTPUT)

    def forward(self, x):
        x = self.fcs(x)
        x = self.fch(x)
        x = self.fce(x)
        return x
```

2.1.12.3. Parametry naszego modelu

```
N_HIDDEN = 16
N_LAYERS = 2
TRAINING_POINTS = 3000
TESTING_POINTS = 5000
OMEGA = 15
```

2.1.12.4. Definicja modelu

```
model_d = FourierFCN(N_INPUT, N_OUTPUT, N_HIDDEN, N_LAYERS)
```

2.1.12.5. Definicja punktów treningowych i testowych

```
x_boundary_d = torch.tensor([[0.0]], requires_grad=True)
x_physics_d = torch.linspace(-2 * np.pi, 2 * np.pi, TRAINING_POINTS).view(-1, 1).requires_grad_(True)
x_test_d = torch.linspace(-2 * np.pi, 2 * np.pi, TESTING_POINTS).view(-1, 1)
u_exact_d = exact_solution(x_test_d, OMEGA)
```

2.1.12.6. Trening modelu

```
print(f'fourier - Training for w = {OMEGA}, Layers = {N_LAYERS}, Neurons = {N_HIDDEN}\n')
model_d, losses_d = train_PINN(model_d, x_boundary_d, x_physics_d, calculate_total_cost, OMEGA, EPOCHS, LR)
```

2.1.12.7. Przewidywanie wartości

```
u_pred_d = model_d_load(x_test_d).detach().numpy()
u_exact_d = u_exact_d.numpy()
```

2.1.12.8. Rysowanie wyników

```
plot_results(x_test_d, u_exact_d, u_pred_d, losses_d, f'fourier - w = {OMEGA}, Layers = {N_LAYERS}, Neurons = {N_HIDDEN}')
```

3. Tabele

3.1. Tabela wyników uczenia się dla przypadku $\omega = 1$

3.1.1. Zawierająca: 2 warstwy ukryte, 16 neuronów w każdej warstwie

Epoch	Loss
0	$0.58 * 10^0$
5000	$1.47 * 10^{-5}$
10000	$8.96 * 10^{-6}$
15000	$6.76 * 10^{-6}$
20000	$5.62 * 10^{-6}$
25000	$4.73 * 10^{-6}$
30000	$4.30 * 10^{-6}$
35000	$1.83 * 10^{-5}$
40000	$4.39 * 10^{-5}$
45000	$2.57 * 10^{-6}$

Tabela 1. Tabela wyników kosztu dla $\omega = 1$, 2 warstwy ukryte, 16 neuronów w każdej warstwie

3.2. Tabela wyników uczenia się dla przypadku $\omega = 15$

3.2.1. Zawierający: 2 warstwy ukryte, 16 neuronów w każdej warstwie

Epoch	Loss
0	0.50
5000	0.5
10000	0.5
15000	0.37
20000	0.33
25000	0.3
30000	0.28
35000	0.27
40000	0.26
45000	0.26

Tabela 2. Tabela wyników kosztu dla $\omega = 15$, 2 warstwy ukryte, 16 neuronów w każdej warstwie

3.2.2. Zawierający: 4 warstwy ukryte, 64 neuronów w każdej warstwie

Epoch	Loss
0	0.50
5000	0.5
10000	0.5
15000	0.5
20000	0.36
25000	0.22
30000	0.19
35000	0.15
40000	0.13
45000	0.12

Tabela 3. Tabela wyników kosztu dla $\omega = 15$, 4 warstwy ukryte, 64 neuronów w każdej warstwie

3.2.3. Zawierający: 5 warstwy ukryte, 128 neuronów w każdej warstwie

Epoch	Loss
0	0.50
5000	0.5
10000	0.5
15000	0.5
20000	0.5
25000	0.5
30000	0.5
35000	0.31
40000	0.01
45000	0.001

Tabela 4. Tabela wyników kosztu dla $\omega = 15$, 5 warstwy ukryte, 128 neuronów w każdej warstwie

3.3. Tabela wyników uczenia się dla przypadku wyniku wybranej sieci z rozwiązaniem, w którym przyjęto, że szukane rozwiązanie ma konkretną postać

3.3.1. Zawierający: 5 warstwy ukryte, 128 neuronów w każdej warstwie

Epoch	Loss
0	0.49
5000	0.27
10000	0.07
15000	0.005
20000	0.009
25000	0.003
30000	0.0005
35000	0.0009
40000	0.005
45000	0.0006

Tabela 5. Tabela wyników kosztu dla $\omega = 15$, 5 warstwy ukryte, 128 neuronów w każdej warstwie

3.4. Tabela wyników uczenia się w którym pierwszą warstwę ukrytą zainicjalizowano cechami Fouriera

3.4.1. Zawierający: 2 warstwy ukryte, 16 neuronów w każdej warstwie

Epoch	Loss
0	2060
5000	0.5
10000	0.49
15000	0.34
20000	0.33
25000	0.32
30000	0.31
35000	0.30
40000	0.309
45000	0.30

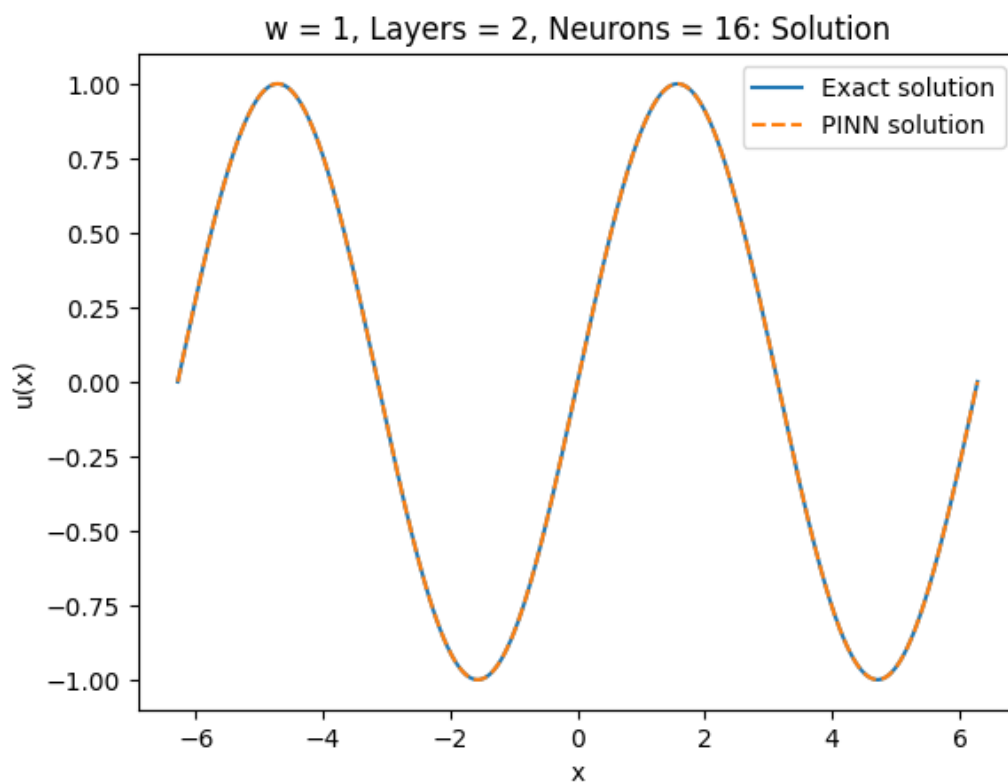
Tabela 6. Tabela wyników kosztu dla $\omega = 15$, 2 warstwy ukryte, 16 neuronów w każdej warstwie

4. Wykresy

4.1. Wykres dla przypadku $\omega = 1$

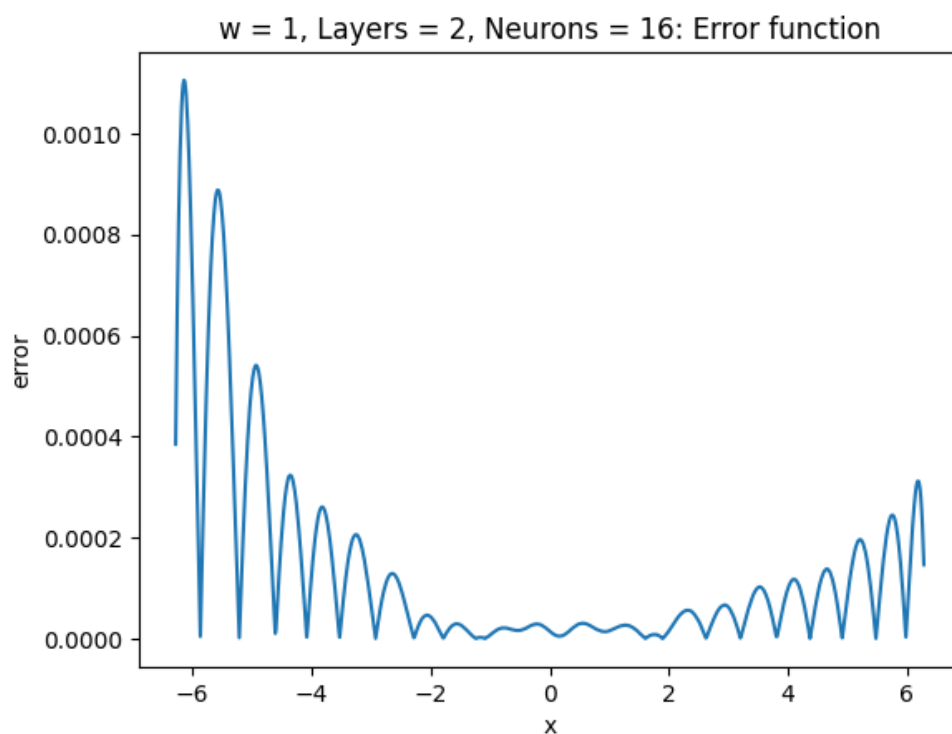
4.1.1. Zawierający: 2 warstwy ukryte, 16 neuronów w każdej warstwie

4.1.1.1. Wykres funkcji $u(x)$, wraz z $\hat{u}(x)$



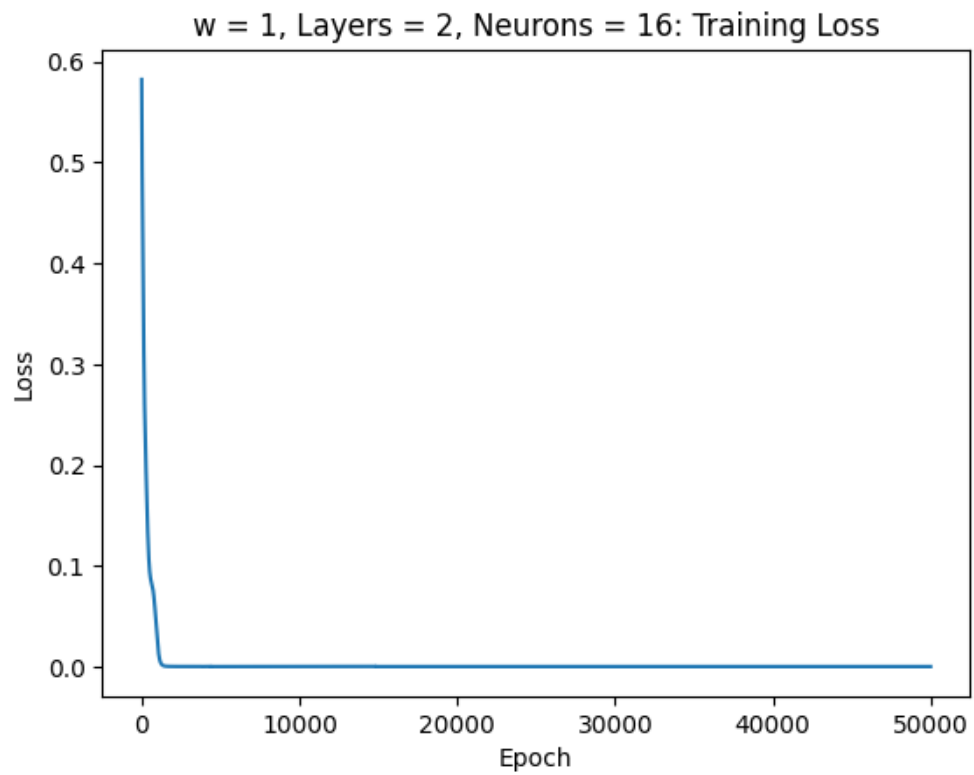
Wykres 1. Wykres funkcji $u(x)$, wraz z $\hat{u}(x)$ dla $\omega = 1$, 2 - warstw ukrytych, 16 - neuronów w każdej warstwie

4.1.1.2. Wykres funkcji błędu



Wykres 2. Wykres funkcji błędów dla $\omega = 1$, 2 - warstw ukrytych, 16 - neuronów w każdej warstwie

4.1.1.3. Wykres funkcji kosztu w zależności od liczby epok

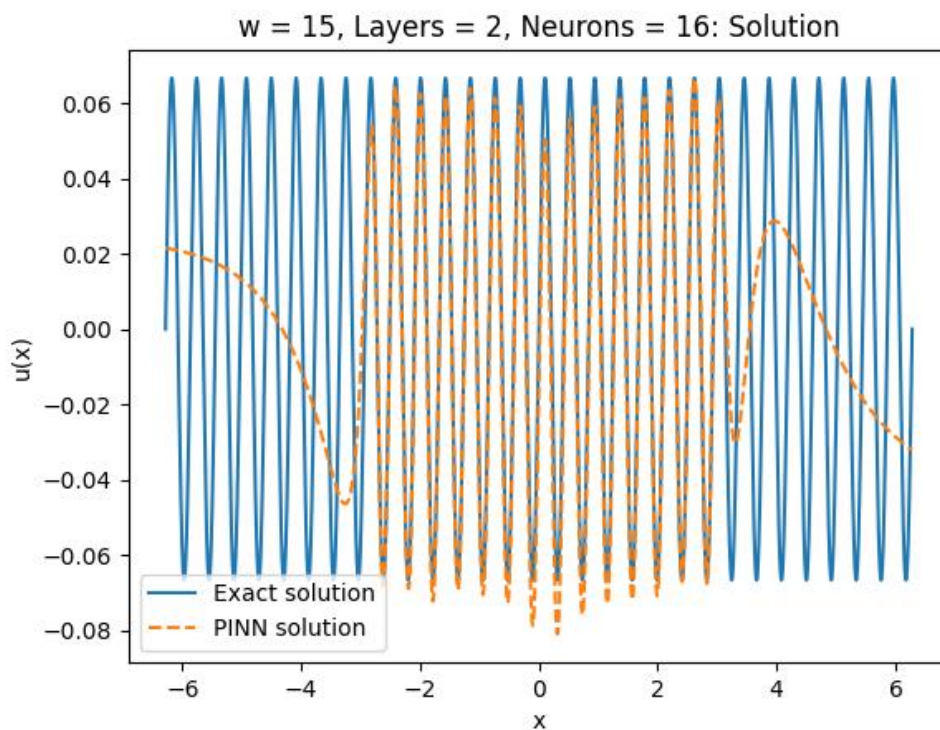


Wykres 3. Wykres funkcji kosztu dla $\omega=1$, 2 - warstw ukrytych, 16 - neuronów w każdej warstwie

4.2. Wykres dla przypadku $\omega = 15$

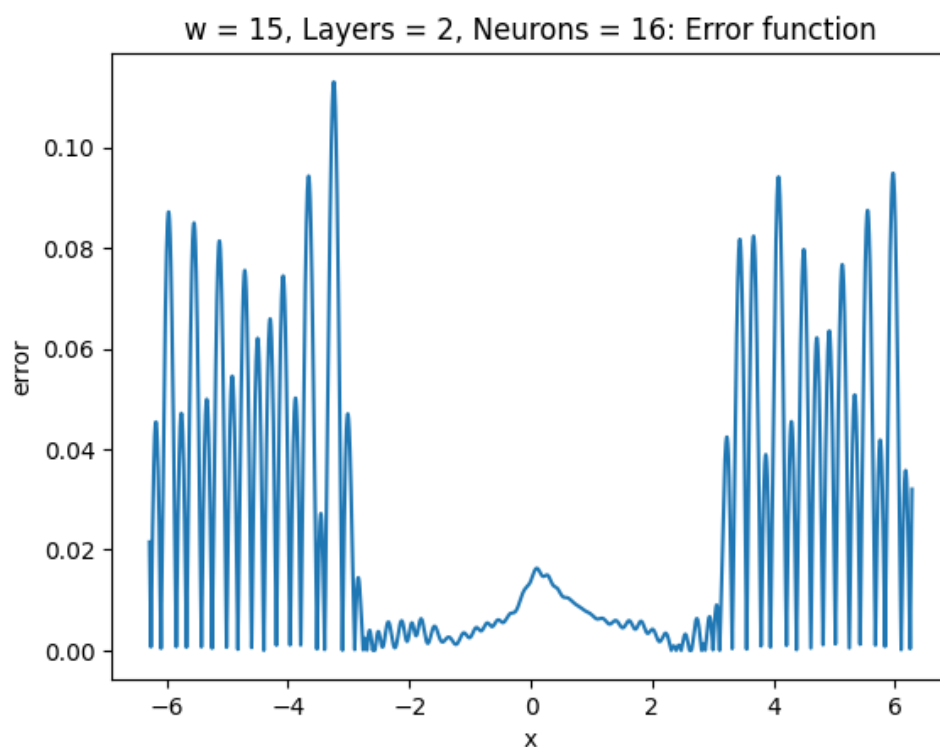
4.2.1. Zawierający: 2 warstwy ukryte, 16 neuronów w każdej warstwie

4.2.1.1. Wykres funkcji $u(x)$, wraz z $\hat{u}(x)$



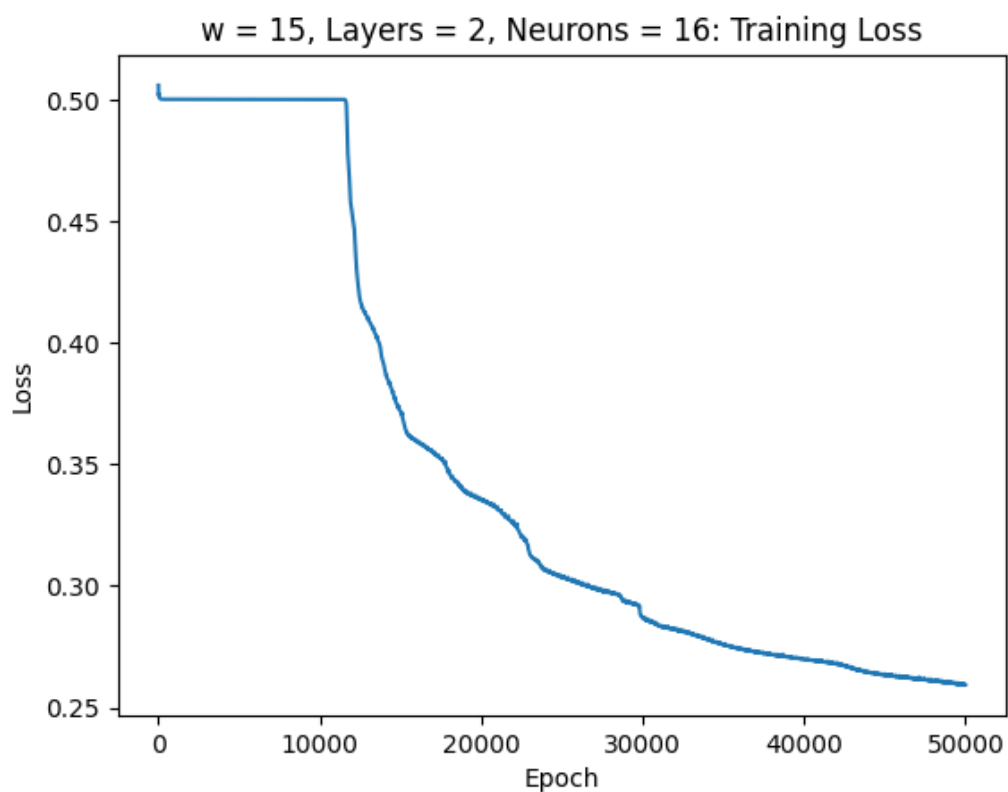
Wykres 4. Wykres funkcji $u(x)$, wraz z $\hat{u}(x)$ dla $\omega = 15$, 2 - warstw ukrytych, 16 - neuronów w każdej warstwie

4.2.1.2. Wykres funkcji błędu



Wykres 5. Wykres funkcji błędu dla $\omega = 15$, 2 - warstw ukrytych, 16 - neuronów w każdej warstwie

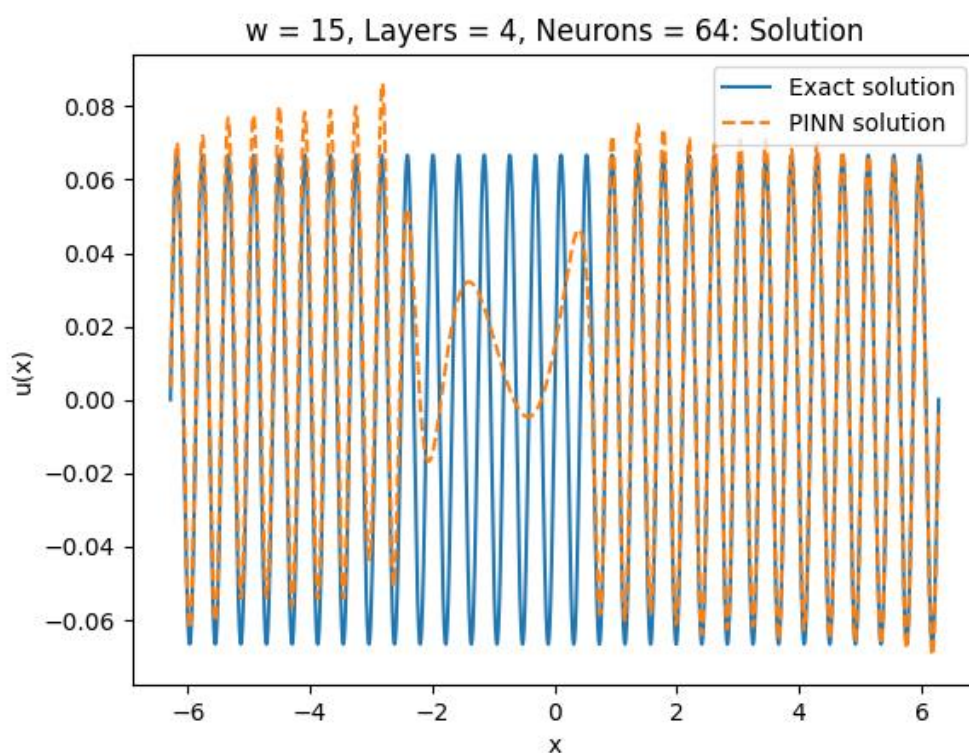
4.2.1.3. Wykres funkcji kosztu w zależności od liczby epok



Wykres 6. Wykres funkcji kosztu dla $\omega=15$, 2 - warstw ukrytych, 16 - neuronów w każdej warstwie

4.2.2. Zawierający: 4 warstwy ukryte, 64 neuronów w każdej warstwie

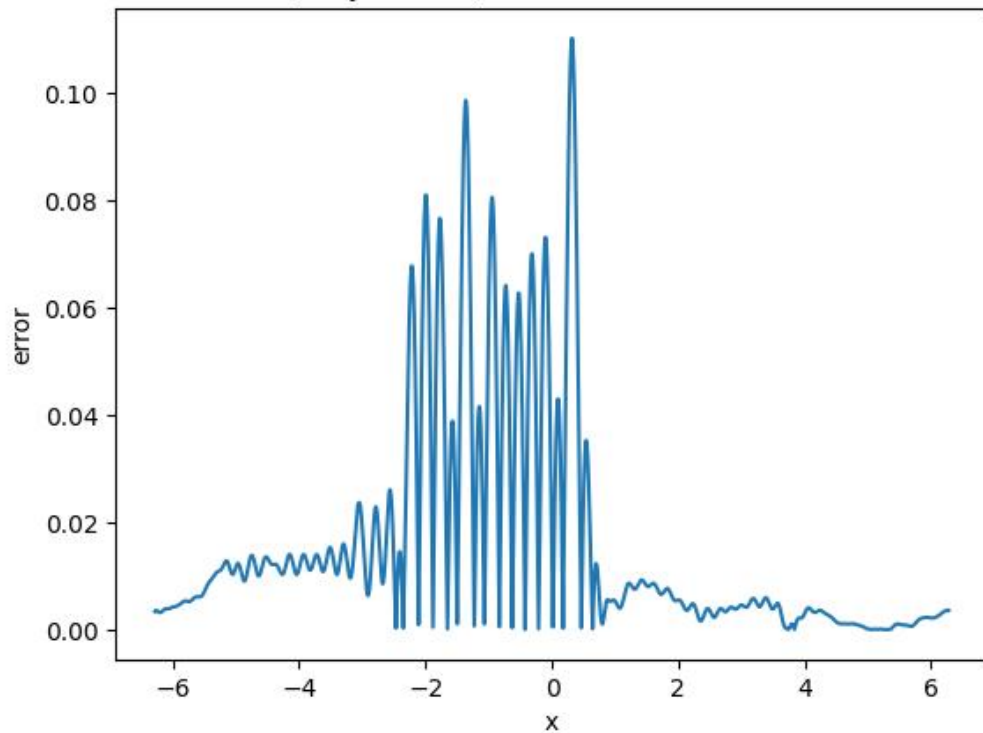
4.2.2.1. Wykres funkcji $u(x)$, wraz z $\hat{u}(x)$



Wykres 7. Wykres funkcji $u(x)$, wraz z $\hat{u}(x)$ dla $\omega = 15$, 4 - warstw ukrytych, 64 - neuronów w każdej warstwie

4.2.2.2. Wykres funkcji błędu

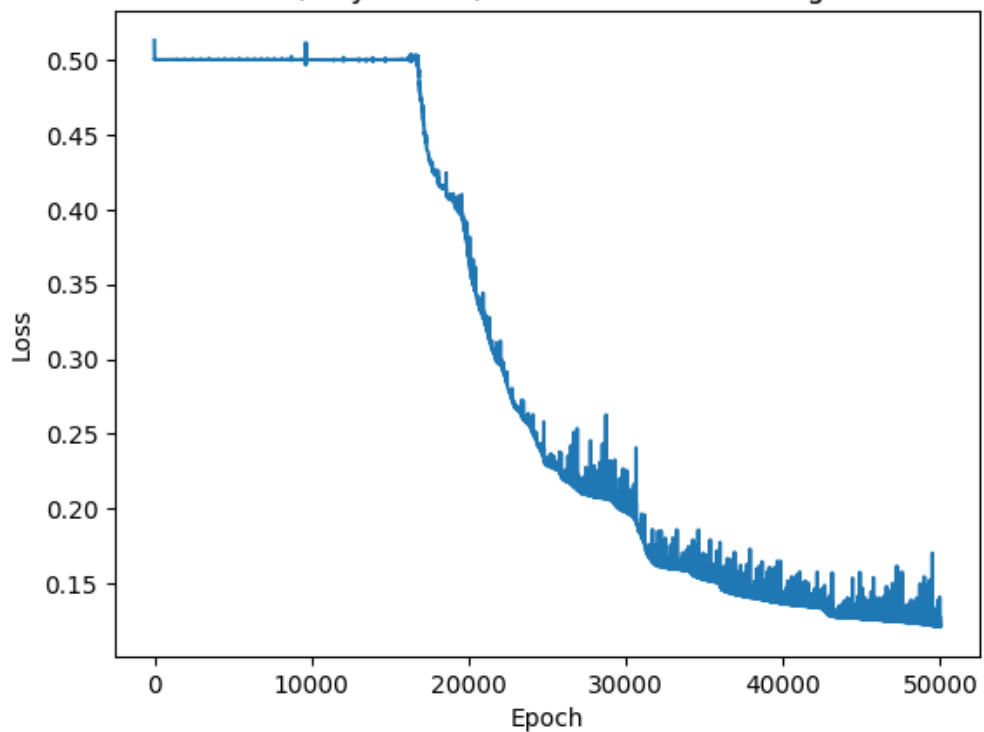
$w = 15$, Layers = 4, Neurons = 64: Error function



Wykres 8. Wykres funkcji błędów dla $\omega = 15$, 4 - warstw ukrytych, 64 - neuronów w każdej warstwie

4.2.2.3. Wykres funkcji kosztu w zależności od liczby epok

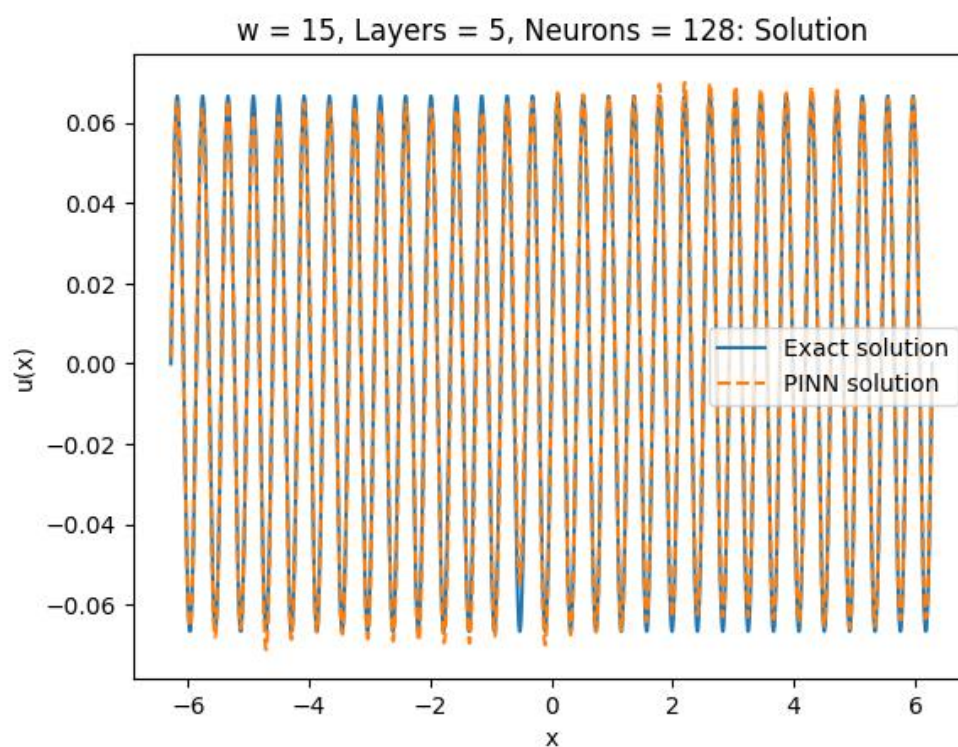
$w = 15$, Layers = 4, Neurons = 64: Training Loss



Wykres 9. Wykres kosztu dla $\omega = 15$, 4 - warstw ukrytych, 64 - neuronów w każdej warstwie

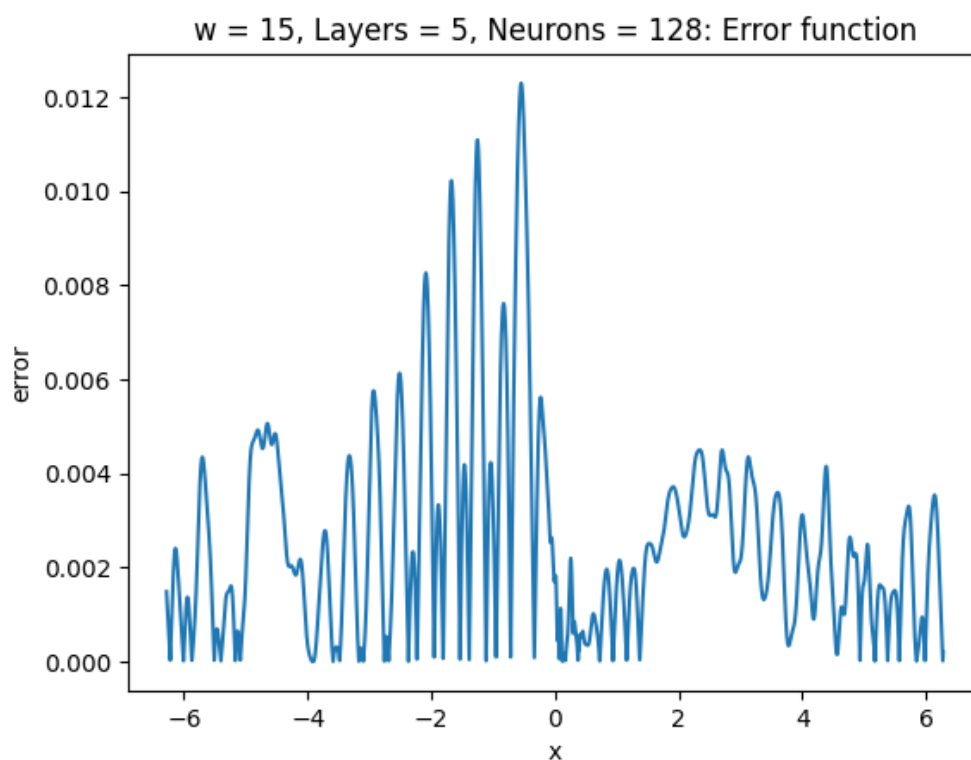
4.2.3. Zawierający: 5 warstw ukrytych, 128 neuronów w każdej warstwie

4.2.3.1. Wykres funkcji $u(x)$, wraz z $\hat{u}(x)$



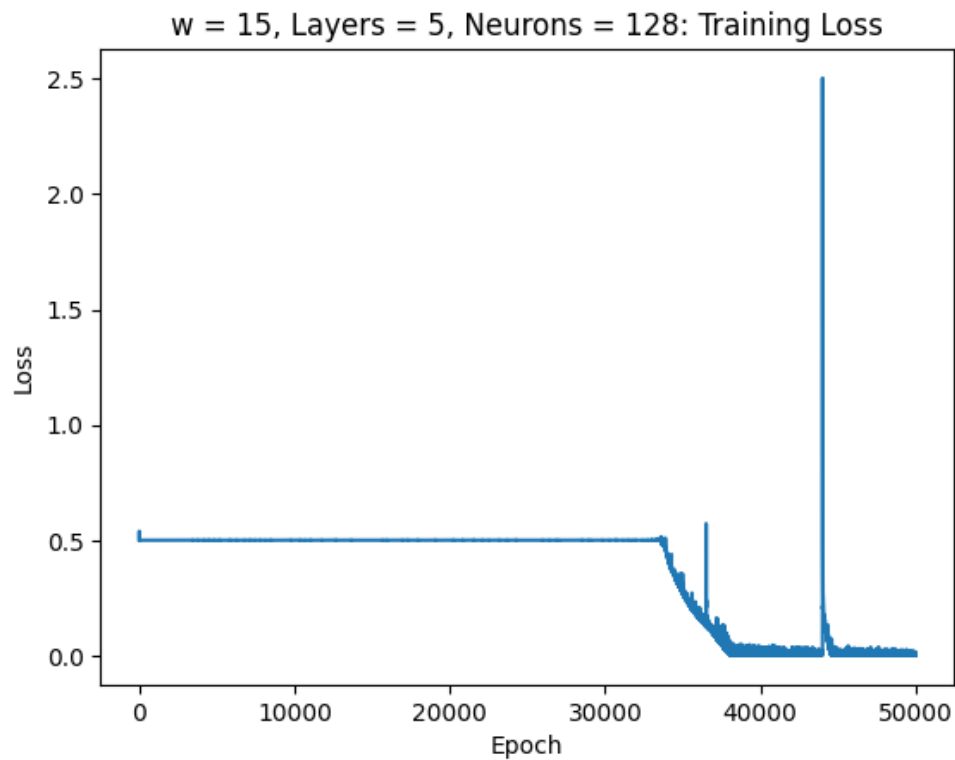
Wykres 10. Wykres funkcji $u(x)$, wraz z $\hat{u}(x)$ dla $\omega = 15$, 5 - warstw ukrytych, 128 - neuronów w każdej warstwie

4.2.3.2. Wykres funkcji błędu



Wykres 11. Wykres funkcji błędu dla $\omega = 15$, 5 - warstw ukrytych, 128 - neuronów w każdej warstwie

4.2.3.3. Wykres funkcji kosztu w zależności od liczby epok

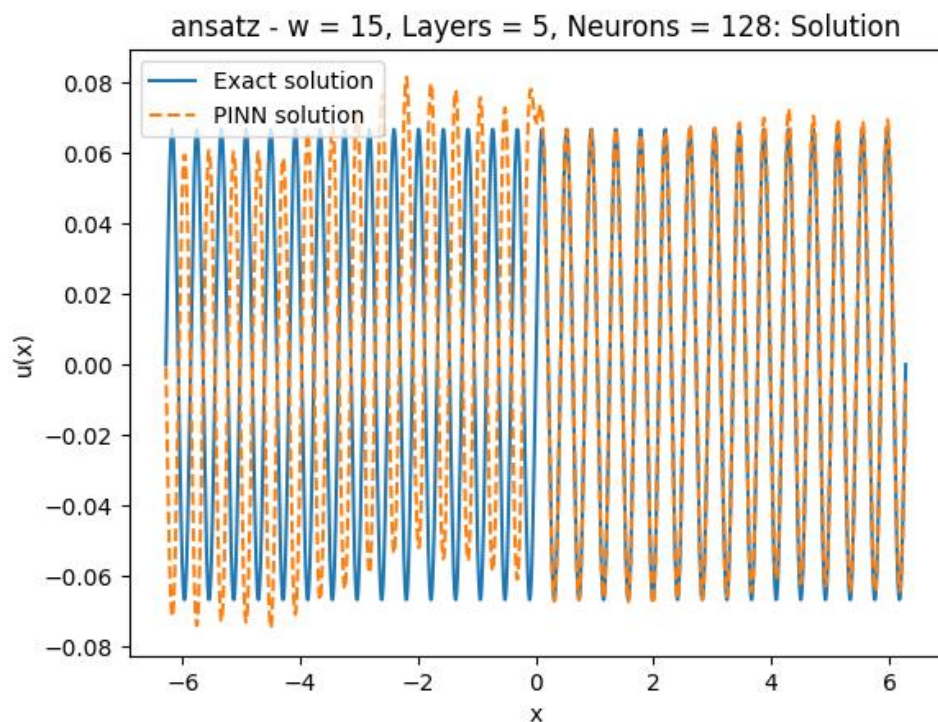


Wykres 12. Wykres funkcji *kosztu* dla $\omega = 15$, 5 - warstw ukrytych, 128 - neuronów w każdej warstwie

4.3. Wykres dla wyniku wybranej sieci z rozwiązaniem w którym przyjęto, że szukane rozwiązanie ma konkretną postać

4.3.1. Zawierający: 5 warstw ukrytych, 128 neuronów w każdej warstwie, $\omega = 15$

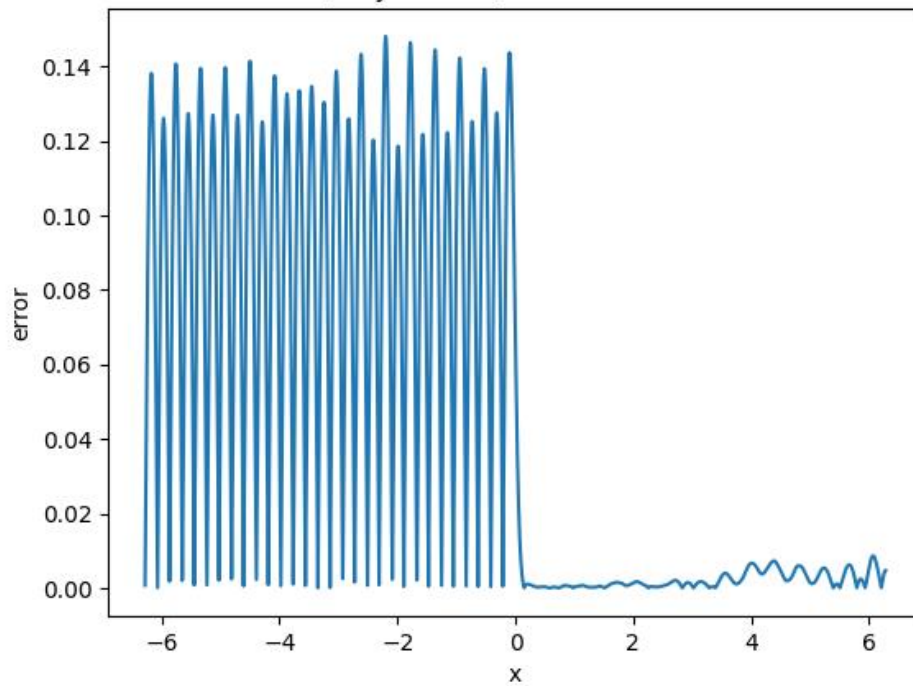
4.3.1.1. Wykres funkcji $u(x)$, wraz z $\hat{u}(x)$



Wykres 13. Wykres funkcji anastaz $u(x)$, wraz z $\hat{u}(x)$ dla $\omega = 15$, 5 - warstw ukrytych, 128 - neuronów w każdej warstwie

4.3.1.2. Wykres funkcji błędu

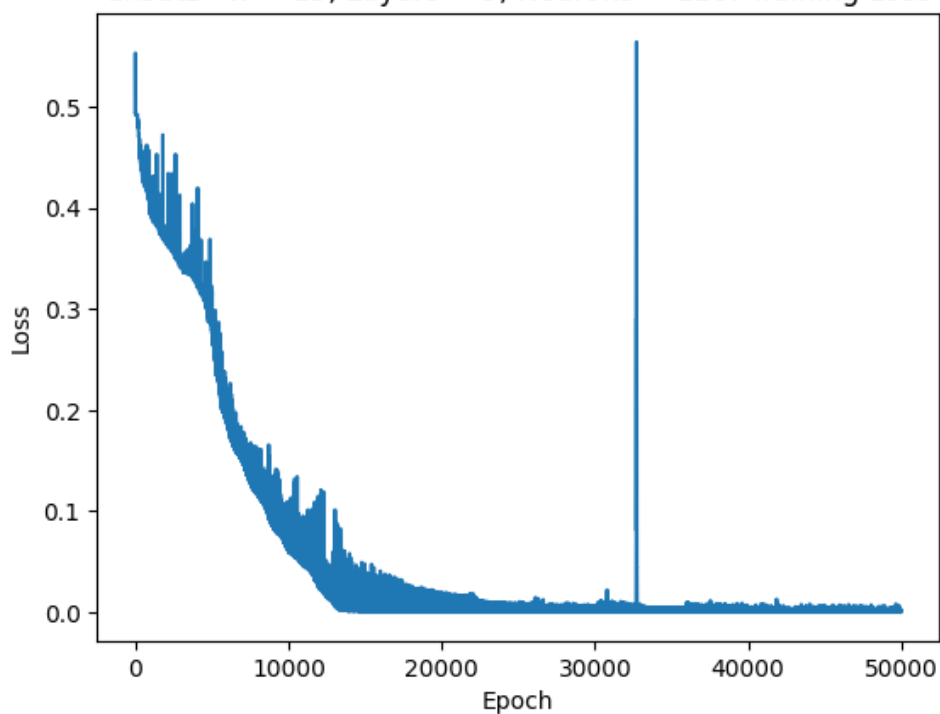
ansatz - $w = 15$, Layers = 5, Neurons = 128: Error function



Wykres 14. Wykres funkcji anastaz *błędu* dla $\omega = 15$, 5 - warstw ukrytych, 128 - neuronów w każdej warstwie

4.3.1.3. Wykres funkcji kosztu w zależności od liczby epok

ansatz - $w = 15$, Layers = 5, Neurons = 128: Training Loss

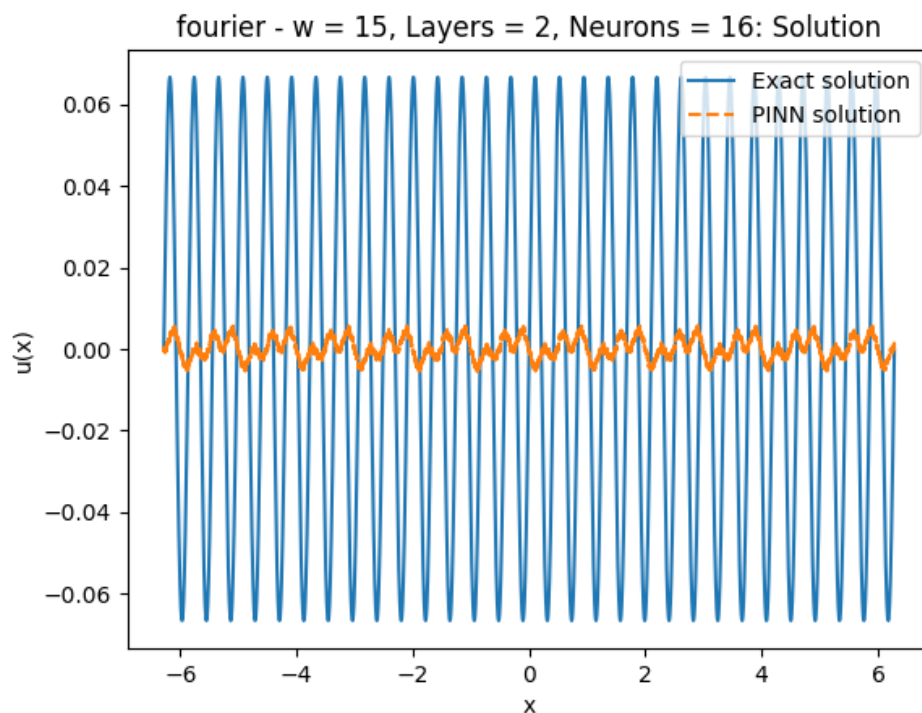


Wykres 15. Wykres funkcji kosztu dla $\omega = 15$, 5 - warstw ukrytych, 128 - neuronów w każdej warstwie

4.4. Wykres w którym pierwszą warstwę ukrytą zainicjalizowano cechami Fouriera

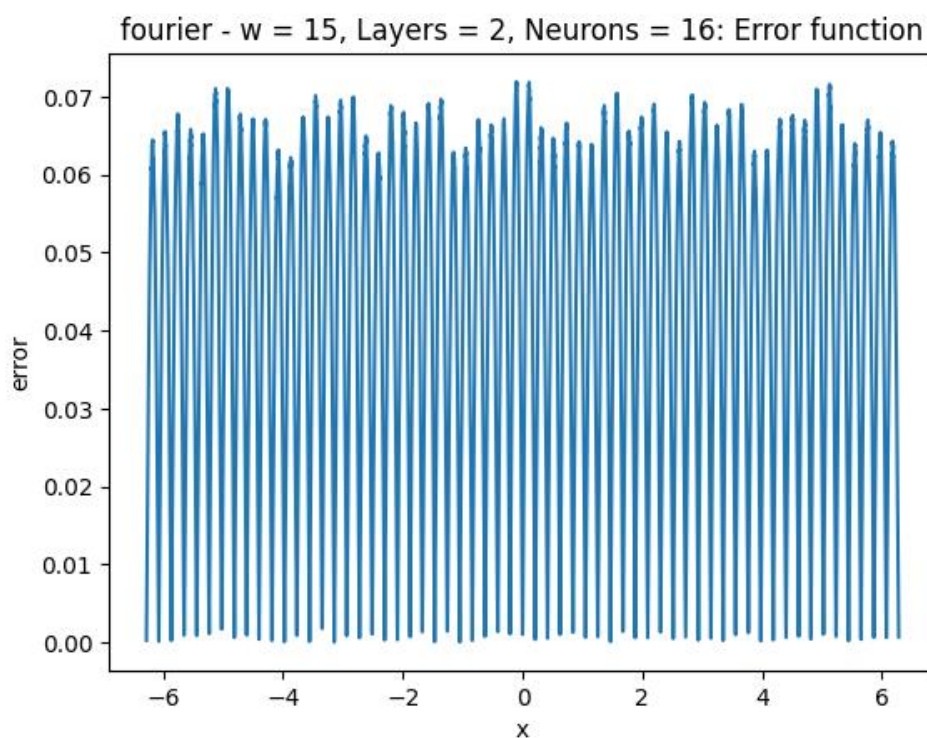
4.4.1. Zawierający: 2 warstwy ukryte, 16 neuronów w każdej warstwie, $\omega = 15$

4.4.1.1. Wykres funkcji $u(x)$, wraz z $\hat{u}(x)$



Wykres 16. Wykres funkcji fouriera $u(x)$, wraz z $\hat{u}(x)$ dla $\omega = 15$, 2 - warstw ukrytych, 16 - neuronów w każdej warstwie

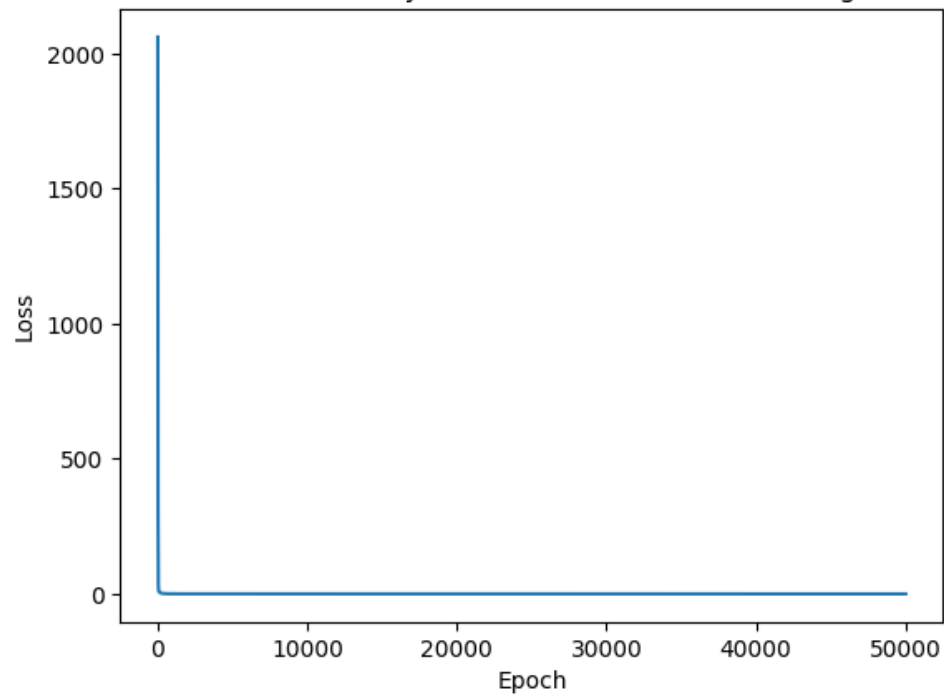
4.4.1.2. Wykres funkcji błędu



Wykres 17. Wykres funkcji błędów dla $\omega = 15$, 2 - warstw ukrytych, 16 - neuronów w każdej warstwie

4.4.1.3. Wykres funkcji kosztu w zależności od liczby epok

fourier - $w = 15$, Layers = 2, Neurons = 16: Training Loss



Wykres 18. Wykres funkcji fouriera *kosztu* dla $\omega = 15$, 2 - warstw ukrytych, 16 - neuronów w każdej warstwie

5. Wnioski

Porównując wszystkie przypadki najlepiej sobie radził przypadek $\omega = 1$, dla 2 warstw ukrytych, 16 neuronów w każdej warstwie, ponieważ wykres funkcji prawdziwej i funkcji znalezionej dla tych parametrów idealnie się pokrywał z funkcją co jest widoczne na wykresie nr 1.

Inne przypadki też radziły sobie dobrze kolejnym który wręcz wszystko pokrywał był przypadek $\omega = 15$ dla 5 warstw ukrytych, 128 neuronów w każdej warstwie. Ten przypadek chociaż poradził sobie wyśmienicie to jego wadą było to że ten przypadek był bardzo kosztowny obliczeniowo – wynik można zobaczyć na wykresie nr 10.

Kolejnym przypadkiem, który poradził sobie bardzo dobrze był ten w którym przyjęto za szukany rozwiązanie wzór: $\hat{u}(x; \theta) = \tanh(\omega x) * NN(x; \theta)$. Wynik można zobaczyć na wykresie nr 13.

Wykres, w którym pierwszą warstwę ukrytą zainicjalizowano cechami Fouriera poradził sobie dobrze choć mógł lepiej, widać to na wykresie nr. 16.

Ogólnie rzecz biorąc warto stosować pierwszą warstwę z cechami Fourierowskimi, ponieważ mimo że nie osiągnęła idealnych wyników, to wykazała się dobrą skutecznością. Może to być szczególnie użyteczne w zadaniach przetwarzania sygnałów, gdzie cechy Fourierowskie pomagają w ujawnianiu istotnych wzorców częstotliwościowych. Jednakże, jeśli dostępne są inne metody, które zapewniają lepsze pokrycie funkcji prawdziwej, warto je również rozważyć.

Na dobrą sprawę również warto stosować ANSH, ponieważ może znacząco poprawić wydajność obliczeniową i dokładność sieci neuronowych w zadaniach klasyfikacji i regresji, zwłaszcza w wysokowymiarowych przestrzeniach.

Ostateczny wybór metody zależy od specyfiki problemu, nad którym pracujemy. W niektórych przypadkach można również rozważyć kombinację obu metod, aby maksymalnie wykorzystać ich zalety.

6. Bibliografia

Wykład MOwNiT - prowadzony przez dr. Inż. K. Rycerz
Prezentacje – dr. Inż. M. Kuta

7. Dodatkowe informacje

Rozwiązanie zadania znajduje się w pliku ex1.ipynb